神経毒性アミノ酸 dysiherbaine の培養ミュラー細胞への効果

嶺井利沙子

北里大学医学部眼科学教室

目 的:海綿の抽出液から発見された神経毒性グルタ ミン酸受容体アゴニストであるダイシハーベイン(DH) の Müller(ミュラー)細胞に対する薬理学的性質を知り, さらにミュラー細胞におけるグルタミン酸受容体機能を 明らかにするため、培養ミュラー細胞の DH に対する効 果を検討した.

対象と方法:細胞は成熟家兎網膜から培養し,DHの 効果は acetoxymethyl ester fura-2 (Fura-2 AM)を指 示薬とした細胞内カルシウム濃度解析装置で調べた.

結 果:DH(2.5 µM~2.5 mM)投与により主として 細胞外カルシウムのミュラー細胞内流入があった。また,

non NMDA 型グルタミン酸受容体アンタゴニストであ る 6-cyano-7-nitroquinoxaline-2,3-dione(CNQX)存在下 では大部分の応答が抑制され、NMDA 型グルタミン酸受 容体である MK 801 存在下では,応答細胞数には変化が なかったが, 蛍光強度比上昇率は低下した.

結 論:DHは, non NMDA型とNMDA型の両受容 体に作用し、かつ non NMDA 型の作用が一次的である と推定された.(日眼会誌 103:584-590,1999)

キーワード:ダイシハーベイン,培養ミュラー細胞,グル タミン酸受容体,細胞内カルシウム濃度

Effects of a New Excitotoxic Amino Acid, Dysiherbaine,

on Cultured Müller Cells

Risako Minei

Department of Ophthalmology, Kitasato University, School of Medicine

Abstract

Purpose: To determine pharmacological response of dysiherbaine on cultured Müller cells considering the glutamate receptor functions. Dysiherbaine is a new excitotoxic amino acid, which was recently isolated from the water extract of a certain sponge.

Subjects and Method: Retinas of adult rabbits ware used to prepare the Müller cells. Intracellular calcium ion concentration ([Ca²⁺]_i) analysis was done by fluorophotometry with calcium indicator, Fura-2 AM.

Results: A transient increase of [Ca2+]; was observed following the administration of dysiherbaine (2.5 μM~2.5 mM), but it was not observed in the extracellular calcium-free solution. This increase was blocked by the non NMDA glutamate receptor antagonist, 6 - cyano - 7 - nitroquinoxaline - 2, 3 - dione

(CNQX).

A dysiherbaine-induced increase in [Ca²⁺] following preincubation of the NMDA glutamate receptor antagonist, (5 R, 10 S)-(+)-5-methyl-10, 11-dihydro-5 H-dibenzo [a, d] cyclohepten-5, 10-imine hydrogen maleate (MK 801) was seen in the same number of Müller cells as without the antagonist.

Conclusion: Dysiherbaine appears to act primarily as a non NMDA glutamate receptor agonist having a secondary action as a NMDA glutamate receptor agonist. (J Jpn Ophthalmol Soc 103: 584-590, 1999)

Key words: Dysiherbaine, Cultured Müller cells. Glutamate receptor, Intracellular calcium concentration

I 緒 言

1997年,酒井らはヤップ島で海洋生物を採取して神経

毒性を調べていたところ、ミクロネシア諸島に通常存在 する海綿からの抽出液がネズミに痙攣を起こさせること を発見した.この抽出液をネズミの腹腔内に投与すると,

別刷請求先:228-8555 相模原市北里 1-15-1 北里大学医学部眼科学教室 嶺井利沙子

(平成10年11月18日受付,平成11年5月6日改訂受理)

Reprint requests to: Risako Minei, M.D. Department of Ophthalmology, Kitasato University, School of Medicine

1-15-1 Kitasato Sagamihara 228-8555, Japan

(Received November 18, 1998 and accepted in revised form May 6, 1999)

低濃度ではドーモイ酸と同様に特徴的な痙攣を起こし, 高濃度では痙攣後死亡させることがわかった.この抽出 液はネズミの脳のシナプス膜を使った radio ligand binding assay で, non NMDA 型グルタミン酸受容体の 選択的なアゴニストと推定された.ここに新しい神経毒 性グルタミン酸受容体アゴニストであるダイシハーベイ ン(dysiherbaine:以下, DH)が発見された」.一方, Müller(ミュラー)細胞は網膜のグリア細胞であり, 視細胞層 から視神経節細胞を垂直に貫いて存在する支持組織であ るが,イオン濃度の調節や放出された神経伝達物質の吸 収や代謝,網膜電図のb波の構成成分などに関与してい ることが知られており2)3),また,近年網膜神経細胞の電 気的活動を調節していることも指摘されている4.今ま で網膜ではグルタミン酸受容体は神経細胞にしか存在し ないと考えられていたが、ミュラー細胞にも、1993年 Puro ら⁵は NMDA 型グルタミン酸受容体, 1994年 Wakakura ら⁶⁾は non NMDA型, 1993年Schwartz⁷⁾に次いで, 1997年 Keirstead ら⁸⁾は代謝制御型グルタミン酸受容体が存在 することをそれぞれ報告した.そこで、我々は培養ミュ ラー細胞に対して今回新しく発見された DH の薬理学的 性質を知り、さらに、ミュラー細胞におけるグルタミン酸 受容体機能を明らかにするため,培養ミュラー細胞の DH に対する効果を検討した.

II 実験方法

1. ミュラー細胞の培養

ミュラー細胞の培養には体重 2~4kgの成熟白色家兎 網膜を用いた.体重1kg当たり25mgのペントバルビ タールナトリウム(ネンブタール®)を耳静脈内注入し全 身麻酔をかけた後,両眼の眼球を摘出した.摘出された眼 球のうち,角膜輪部から約2mm離れた強膜を円周状に 切開し眼球の前眼部を水晶体と一塊にして取り除いた. 次に,後極部から硝子体を外し,視神経乳頭部から網膜を 剝離し網膜組織片を作製した. さらに, 有髄神経線維を除 去した網膜組織片を, serum-free Glasgow minimum essential medium (GMEM, Gibco) 内で約 0.25 mm² の大き さに細切した.これを1,000回/分,5分間遠心分離し, 10% ウシ胎児血清を加えた GMEM 中に置き, 37℃, 5% CO₂/95% air の条件下で約1週間浮遊培養した.その後 浮遊培養液を集め、これを同様に遠心分離し、沈渣部分を 新鮮な10% ウシ胎児血清加 GMEM 中に培養した.およ そ2~3 週間でミュラー細胞の confluent culture が得ら れた.これを 0.25% トリプシンで剝がし,カバーガラス にシリコン壁(Flexperm, Heraus, ドイツ)をつけて作っ た培養皿に新鮮な培養液を入れ培養した.培養後,1~4 週間経過したものを使用した.

2. 細胞内カルシウムイオン濃度解析

細胞内カルシウムイオン濃度の解析には, Argus 100/ CA(浜松ホトニクス)を用いた⁹. 遊離カルシウムイオン に結合し、蛍光を発する蛍光性カルシウム指示薬、acetoxymethyl ester fura-2(Fura-2 AM)でカルシウムイオンを標識し、340 および 380 nm の 2 つの異なる励起光で励起された蛍光強度が測定され、その比は解析装置により自動計測された。この比の変化は細胞内カルシウムイオン濃度変化を反映する¹⁰、

まず、培養皿中のミュラー細胞を Hanks 液 (NaCl 13.7 mM, KCl 0.5 mM, Na₂HPO₄·12 H₂O 0.03 mM, KH₂ PO₄ 0.5 mM, HEPES 20 mM, NaHCO₃ 10 mM, CaCl₂ 1.26 mM, MgSO₄·7 H₂O 0.8 mM, glucose 5.6 mM) で軽く洗浄し、37℃の条件下で5 μ M の Fura-2 AM 中に約45分間静置した。Fura-2 AM を Hanks 液で流い流し、培養皿に Hanks 液25 μ L を入れ、倒立型落射蛍光顕微鏡(オリンパス、IMT-2)のステージ上に置いた。

標識された細胞の蛍光は上記装置内の超高感度テレビカメラ (SIT カメラ, C 2400-08 H, 浜松ホトニクス) によりとらえられ、この像を基に細胞内カルシウムイオン濃度ソフト (細胞内カルシウムイオン濃度解析ソフトウエア U 3390-02, version 3.7) で蛍光強度 340/380 比が求められ、画像診断が行われた。DH および α -amino-3-hydroxy-5-methyl-4-isoxazole-propionic acid (AMPA) は25 μ L をマイクロピッペットにより直接培養皿に滴下反応させた。

細胞内カルシウム上昇の起源を調べるには,カルシウムを除外した Hanks 液にカルシウムキレート剤である ethylene glycol bis (β -aminoethylether) - N, N, N', N', tetraacetic acid (EGTA) 5 mM を加えた溶液中に静置し,250 μ M の DH を滴下反応させた.

次に、アンタゴニスト存在下または非存在下、さらに、カルシウムチャネル拮抗剤存在下または非存在下でそれぞれ反応させた。アンタゴニスト存在下の実験では、non NMDA 型グルタミン酸受容体アンタゴニストである 6-cyano - 7-nitroquinoxaline - 2、3-dione (CNQX) 50 μ M 中に約 15 分間静置し、CNQX 50 μ M 存在下で 250 μ M の DH を滴下反応させた。NMDA 型グルタミン酸受容体アンタゴニストである (5 R、10 S) - (+) - 5-methyl-10、11-dihydro-5 H-dibenzo [a、d] cyclohepten - 5、10-imine hydrogen maleate (MK801) 50 μ M でも同様に行い、250 μ M の DH を滴下反応させた。

さらに、細胞外液中のマグネシウムを除去した状態で 1 mM のグリシンを加え、non NMDA 型受容体を CNQX 50 μM で阻害し、250 μM の DH を滴下反応させた.

カルシウムイオンチャネル拮抗剤である塩酸ジルチアゼム存在下の実験では、塩酸ジルチアゼム $100 \, \mu \mathrm{M}$ 中に約 $15 \, \mathrm{分間静置}$ し、塩酸ジルチアゼム $100 \, \mu \mathrm{M}$ 存在下で250 $\mu \mathrm{M}$ の DH を反応させた. 比較として、 $non \, \mathrm{NMDA}$ 型グルタミン酸受容体アゴニストである AMPA も、 $2.5 \, \mu \mathrm{M}$ ~ $2.5 \, \mathrm{mM}$ の濃度で DH と同様に培養ミュラー細胞に反応させた. アンタゴニスト存在下の実験では、 $250 \, \mathrm{mM}$

図1 Dysiherbaine(DH)の構造式.

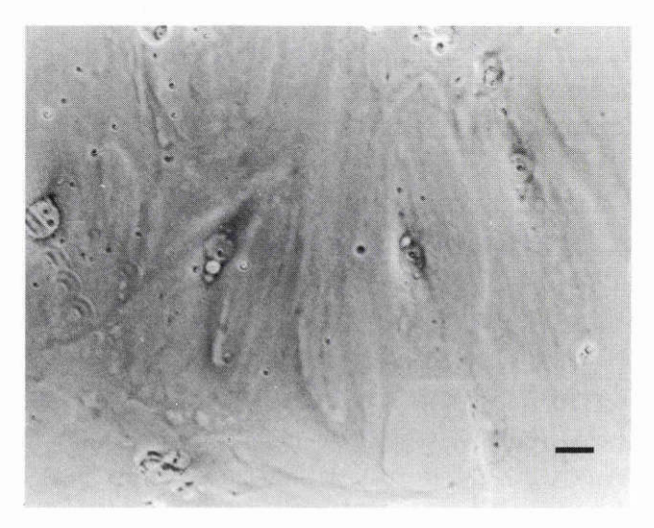


図 2 培養 Müller(ミュラー)細胞の位相差顕微鏡像. バーは 10 μm

μM の AMPA を滴下反応させた. 各実験は 4 秒毎に 10 回蛍光強度比が測定され, 同実験はそれぞれ別の細胞を使用し最低 5 回以式上施行され, 応答細胞率は総細胞数 100 以上の観察で計算された. また, 120% 以上の蛍光強度比の上昇がみられた細胞を応答細胞とした.

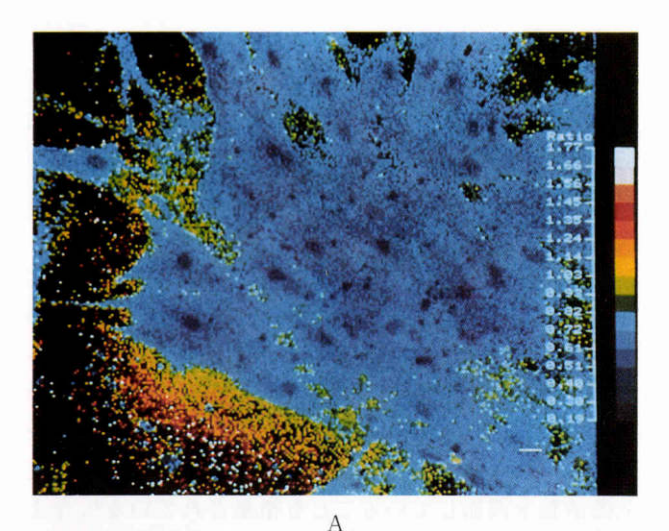
3. 投 与 薬 物

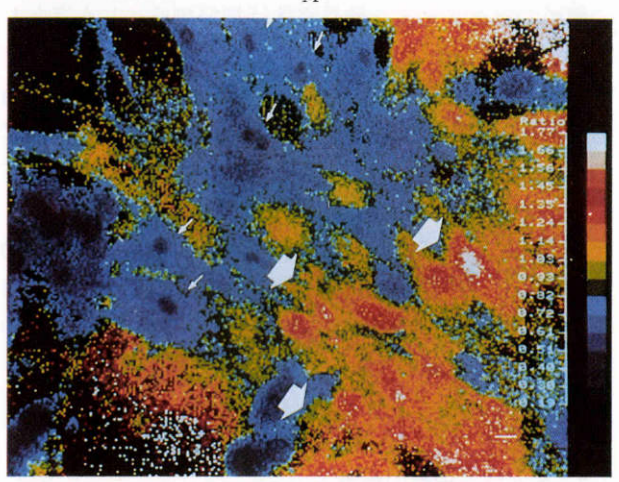
DH は本学水産学部酒井から提供された. DH の構造式を図1に示す. グルタミン酸受容体アゴニストである AMPA とグルタミン酸受容体アンタゴニストである CNQX および MK 801 は, Cambridge Research Biochemicals (Cheshire, 英国) から購入した.

Fura-2 AM およびカルシウムキレート剤である EGTA は,同仁化学(熊本)から購入した.L型カルシウムチャネルに選択なアンタゴニストである塩酸ジルチア ゼムは, Biomol Research LAB(米国)から購入した.

III 結 果

培養したミュラー細胞の位相差顕微鏡写真を図2に示す。ミュラー細胞には厚みがあり、中央には核を有し、細胞質は一部重なり合って存在していた。ミュラー細胞の代りとして、パラフィンオイル中に生理食塩水と Fura-2 AM の較正液で懸濁小液滴を利用し求められた Argus 100 CA によるカルシウムイオン濃度測定較正曲線は、





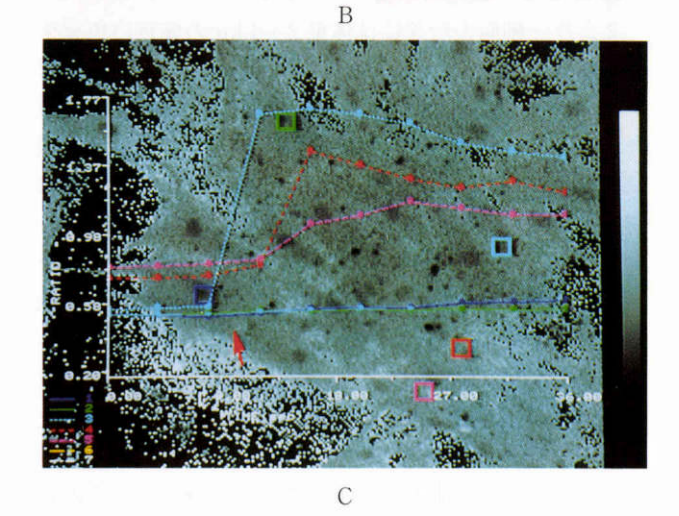


図3 A: DH 投与前の培養ミュラー細胞内カルシウム イオン濃度分布.

凝似カラーで表示. 図の右側の数字と色指標は蛍光強 度 340/380 nm 比を示す. バーは 50 μm

B: DH 250 μM 投与後の培養ミュラー細胞内カルシウムイオン濃度分布.

疑似カラーで表示. 太い矢印は濃度上昇, 細い矢印は濃度変化のなかった細胞を示す. バーは 50 μm

C:DH 投与による培養ミュラー細胞内カルシウムイオン濃度の経時的変化のグラフが測定された細胞像にスーパーインポーズされている.

四角で囲まれた部位の反応は同系色でグラフで示した. 赤矢印は DH を作用させた時点を示す.

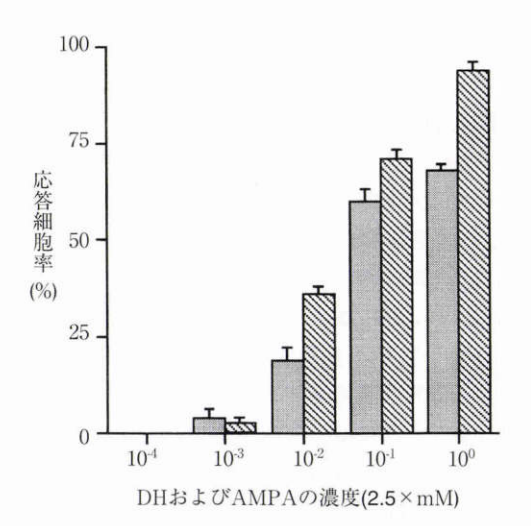
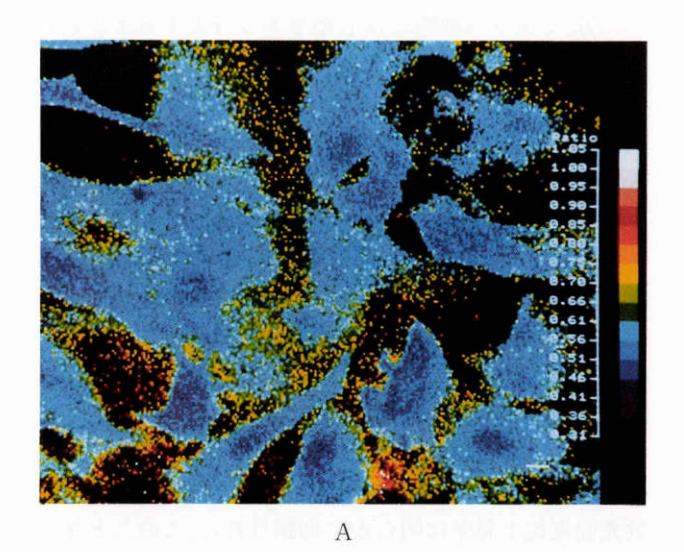
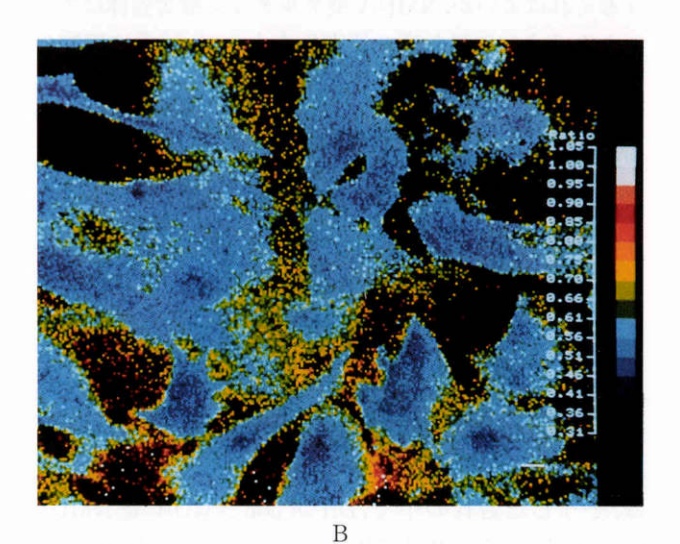


図 4 培養ミュラー細胞の DH および α-amino-3-hydroxy-5-methyl-4-isoxazole-propionic acid (AMPA)に 対する反応のまとめ。

それぞれ各濃度における総細胞数に対する応答細胞数の割合.平均値±標準誤差. ■ :DH, ■ :AMPA





Ratio 1.35 1.29 1.29 1.121 1.16 1.09 1.09 0.90 0.64 0.71 0.71 0.65 0.58 0.58 0.59

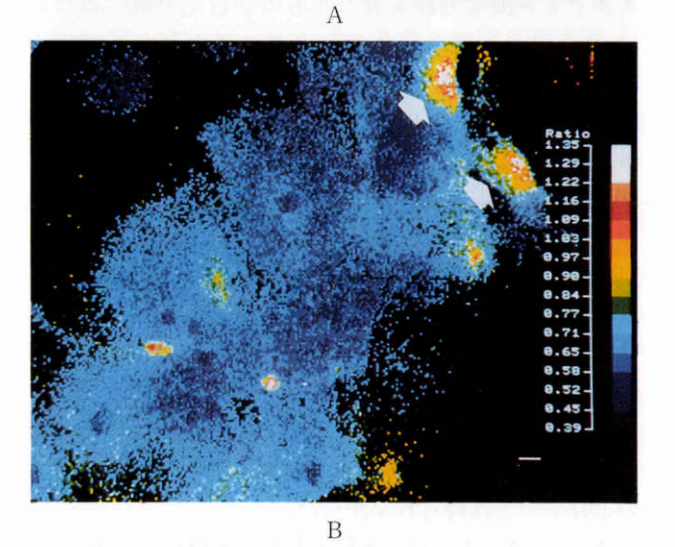


図 6 A: 6-cyano-7-nitroquino-xaline-2, 3-dione (CNQ-X) 50 µM 存在下での DH 投与前の培養ミュラー細胞内カルシウムイオン濃度分布.

疑似カラーで表示. バーは 50 μm

B: CNQX 50 μM 存在下での DH 250 μM 投与後の培養ミュラー細胞内カルシウムイオン濃度分布.

疑似カラーで表示. 矢印以外の細胞の変化はなかった. バーは 50 μm

Kawasaki ら¹⁰¹とほぼ同様の結果が得られた.

まず、DH 250 μ M の培養ミュラー細胞に対する応答の1 例を図3に示す。概ね半数以上の細胞で蛍光強度比の上昇があり、細胞内カルシウムイオン濃度上昇が4 秒以内に起こったことがわかった。このように、DH 2.5 μ M \sim 2.5 μ M 投与により蛍光強度比の上昇があり、その反応は濃度依存性であった(図4). 比較として調べた AMPA の培養ミュラー細胞に対する反応では、2.5 μ M

図 5 A:細胞外カルシウム除去時, DH 投与前の培養 ミュラー細胞内カルシウムイオン濃度分布.

疑似カラーで表示. バーは 50 µm

B:細胞外カルシウム除去時, DH 250 μM 投与後の培養ミュラー細胞内カルシウムイオン濃度分布.

疑似カラーで表示. 図5 A からの変化はなかった. バーは50 μm を除きどの濃度においても DH を上回る応答数があり、 やはり応答細胞数は濃度依存性であった(図4).このように、培養ミュラー細胞の両者に対する反応は類似していた。

次に、細胞外カルシウムイオンを除去した状態での DHの応答の1例を図5に示す.繰り返しの実験でも細胞外カルシウムを除外した状態では蛍光強度比に変化は なかった.

また,L型カルシウムチャネルの選択的なアンタゴニストである塩酸ジルチアゼム $100 \, \mu M$ の存在下では DH の反応を抑制することはできなかった.

さらに、DHの細胞内カルシウムイオン濃度の上昇が グルタミン酸受容体を介したものか否かを調べるため に、グルタミン酸受容体アンタゴニスト存在下で培養 ミュラー細胞に DHを作用させた。CNQX 存在下での DH 応答の 1 例を図 6 に示す。CNQX 存在下では、総細胞 数 (n=120) の僅か 5% にしか蛍光強度比の上昇はなく、 DH の作用が CNQX で明らかに抑制されたことがわ かった。また、MK 801 50 μ M 存在下では、応答細胞数は MK 801 非存在下と差異はなかった。AMPA でも、応答 細胞数は同様の結果が得られた(図 7)。

しかし、MK 801 存在下での DH 投与による経時的蛍光強度比の上昇率をみてみると、各細胞の蛍光強度比上昇率は常に明らかに抑制された(図 8). 一方、AMPAでは、MK 801 存在下および非存在下でみられたような比の上昇率の差は得られなかった.

.さらに、マグネシウムを除去した細胞外中に CNQX を入れ、250 μ M の DH を反応させると、約 25% に蛍光強度比の上昇がみられた.

IV 考 按

これまでに、いくつかの興奮性アミノ酸受容体アゴニストが海藻などからみつけだされている。例えば、カイニン酸は紅藻類フジマツモ科の海人草に含まれる駆虫有効成分から、ドーモイ酸は海藻のドーモイから抽出単離されており、これらは、グルタミン酸受容体の薬理学的性質を知る上で役立ってきた¹¹¹. 今回の研究に用いた DH も海綿から抽出されたものであり、従来のアゴニストとは異なる薬理作用が見出されるかも知れないとの期待のもとに実験を進めた.

成熟白色家兎の網膜はいわゆる vasucularized retina であり,血管が網膜上の上にあるため有髄神経線維を除去して培養すれば,アストロサイト,オリゴデンドロサイトは混在せずに純粋なミュラー細胞が培養でき,家兎網膜はミュラー細胞の培養には非常によく適していると考えられる¹²⁾.この方法で培養されたミュラー細胞は,二次培養以下でも電子顕微鏡的に極性が保たれていることが知られており,免疫細胞化学的にも特異的なグリアマーカーである carbonic anhydrase C 陽性でミュラー細胞

としての形態と機能が培養下でもよく保持されていることが確認されている^[3].

本実験では、DHの培養ミュラー細胞に対する反応を Argus 100 CA で得られた 340 および 380 nm の蛍光強 度比の変化から細胞内カルシウムイオン濃度上昇を確認 した.この蛍光強度比は、Fura-2 AM 濃度に依存せずー 定であり、カルシウムイオン濃度によってのみ変化す る¹¹⁾. すなわち, DH はミュラー細胞に作用したことがわ かった、Fura-2 AM を指示薬としたこの方法は、細胞内 カルシウム濃度変化を介して薬理作用を研究する方法と して既に確立しており、今回の実験は日を変えて各最低 5回以上繰り返して半定量的解析をしたので、細胞の培 養開始からの時期,細胞密度などの影響を最小限に抑え られたと考えている.この働きがいかなる機序で生じた かを考えてみる.まず、細胞外カルシウムを除去した状態 では DH による細胞内カルシウムイオン濃度上昇は全く なく、DHによるそれはほとんど細胞外からの流入によ るものと推定された. ただし, この実験からは細胞内に貯 留されているカルシウムの二次的上昇の関与は明らかで はない.

一方,ミュラー細胞にはL型カルシウムチャネルが存在することが報告⁶⁾¹⁵⁾されているが,塩酸ジルチアゼム存在下でもDH応答に変化はなく,DHによる細胞内カルシウムイオン濃度上昇はL型カルシウムチャネルを直接刺激しチャネルを開いた結果とは考えられなかった.

また、DHのミュラー細胞に対する反応は CNQX 存在 下では明らかに抑制されたことから, DH は主に non NMDA 型グルタミン酸受容体を介して反応していると 考えられた. すなわち, DH は non NMDA 型グルタミン 酸受容体アゴニストとして作用したことは間違いがな い. 一方, MK 801 存在下では, DH のミュラー細胞に対す る反応は,応答細胞数は抑制しないものの,個々の細胞の 蛍光強度比上昇率は明らかに抑制された.このことをど う考えればよいか. NMDA 型グルタミン酸受容体はカル シウムイオンに対し高い透過性をもつが,通常は細胞外 液中のマグネシウムイオンで抑制されているため,通常 の神経伝達では作働しない16).ところが,何らかの原因で 細胞膜に脱分極が生じマグネシウムイオンの抑制が取れ ると、MNDA型グルタミン酸受容体が作働する用意がで きるはずである. 例えば, non NMDA 型グルタミン酸受 容体にそのアゴニストを作用させると同受容体が作働 し,直ちに細胞内カルシウムイオン濃度の上昇が起こる. その結果,細胞膜に脱分極が生じ NMDA 型グルタミン 酸受容体のマグネシウム抑制が取れ、もしそこに NMDA 型受容体アゴニストがあれば,同受容体を介してさらに 細胞内カルシウムイオン濃度上昇が起こると予想され る. そうした過程の中で, DHが non NMDA型, NMDA 型の両グルタミン酸受容体アゴニストとして作用したと

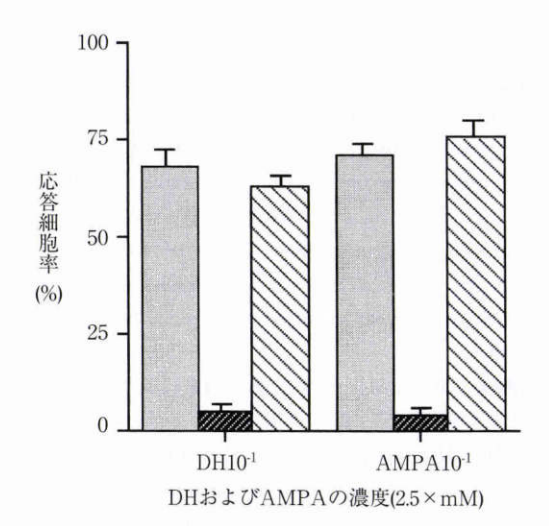


図7 CNQX お よ び(5-R, 10 S)-(+)-5-methyl-10, 11-dihdro-5 H-dibenzo [a , d] cyclohepten-5,10-imine (MK)801 存在下での DH 250 µM に対する培養ミュラー細胞の応答細胞率.

平均值土標準誤差.

AMPA 250 µM に対する反応も同様に示す。

■ : アンタゴニスト非存在下, ○ : CNQX 存在下, ○ : MK 801 存在下

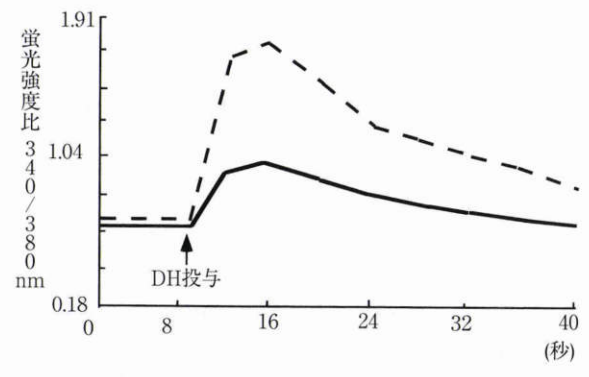


図8 MK 801 存在下および非存在下での DH 250 μM に対する蛍光強度比上昇率の経時的変化.

存在(実線)と非存在下(点線)では,蛍光強度比上昇率 に明らかな差がみられた。

考えればどうであろうか. Non NMDA 型グルタミン酸 受容体を阻害しておいて両受容体アゴニストとしての DH を作用させた時, 細胞内カルシウムイオン濃度上昇 が起こらないのは, non MNDA 型グルタミン酸受容体が 作働して脱分極が起こらない限り, NMDA 型グルタミン酸受容体は作働しないと考えれば予盾がない. また, AMPA のような選択的 non NMDA 型グルタミン酸受容体アゴニストでは, NMDA 型受容体には作働しないため, MK 801 存在下と非存在下で蛍光強度比上昇率に変化が生じなかったと考えられる.

さらに、細胞外液中のマグネシウムを除去し、non NMDA 型受容体のアンタゴニストである CNQX 存在下で DH を作用させると約 25% の細胞に蛍光強度比の上昇がみられたことは、上記の non NMDA 型受容体が一

次的に作用し NMDA 型が引き続いて作用したとする本 論文の仮説を指示する結果と考えた.

以上の考えに基づけば、蛍光強度比上昇カーブは、二峰性をとってもよいはずであるが、今回の実験ではそれは得られなかった. 双極細胞を使用した実験では、両受容体の戝活は15 msec という極めて短時間に起きているので「70、今回の4 秒毎の測定では二峰性を検出することはできなかったものと思われる.

ネズミの脳を利用した radio ligand binding assay で は1,NMDA 型グルタミン酸受容体アンタゴニストであ る[3H] CGS-19755 の結合を DH が抑制しなかった点は, DHが non NMDA 型グルタミン酸受容体のアゴニスト であることを示している.今回の結果でも,DHがnon NMDA 型グルタミン酸受容体に結合して作用している 点では間違いないと思われる.しかし、NMDA型グルタ ミン酸受容体にも作用した可能性があることは一致しな い結果のようにみえる.これは使用した薬品が「°H]CGS-19755 と MK 801, 使用した細胞がミュラー細胞と脳細胞 と異なることが原因と考えられるが,詳細なメカニズム については今後の検討課題である.また、ミュラー細胞に は,イオン結合型グルタミン酸受容体のうち,パッチクラ ンプ法による実験では NMDA 型グルタミン酸受容体の みの存在が示されており、おそらく両受容体が存在する という考えの方が正しいと思われる.

なお、non NMDA 型受容体には AMPA に優位に反応,カイニン酸に優位に反応する受容体が知られているが、ミュラー細胞でも両方のいずれにも作用する結果が報告のされている。しかし、AMPA の方が常に一定の反応が得られているので、今回の実験では AMPA を用いたが、作働している受容体のサブタイプの決定には薬理学的のみならず、分子遺伝学的な解析が必要であり、AMPA 型受容体かカイニン酸型受容体かは本実験からは明言できない。

中枢神経系では、虚血時細胞外グルタミン酸濃度の上昇により神経細胞死を惹き起こすと考えられており、NMDA型グルタミン酸受容体を阻害することにより神経細胞死が軽減することが知られている¹⁸⁾. 網膜でも同様のことが起こっていると考えられている^{19)~21)}. この現象に、NMDA型、non NMDA型の両受容体を有するミュラー細胞がこれらの受容体を介して神経細胞死を抑制する方向に関与している可能性がある. このような新しいアゴニストのミュラー細胞に対する応答を解析することは、薬理学的特性を明らかにするのみならず、将来、ミュラー細胞の機能および網膜神経細胞との関連などの解決の糸口、さらには網膜神経細胞死予防発見へ結びつくと考えている.

稿を終えるに当たり,ご指導とご校閲を賜りました本学医 学部眼科学教室若倉雅登助教授に深謝いたします.また,DH を提供いただきました北里大学水産学部酒井隆一助教授,実 験に協力いただいた真下紀美代氏に深謝いたします.

文 献

- Sakai R, Kamiya H, Murata M, Shimamoto K: Dysiherbaine: A new neurotoxic amino acid from the Micronesian marine sponge Dysidea herbacea. J Am Chem Soc 119:4112—4116, 1997.
- Schousboe A: Transport and metabolism of glutamate and GABA in neurons and glial cells. Int Rev Neurobiol 22:1—45, 1981.
- Schwartz EA, Tachibana M: Electrophysiology of glutamate and sodium co-transport in a glial cell of the salamander retina. J Physiol 426: 43—80, 1990.
- Newman EA, Zahs KR: Modulation of neuronal activity by glial cells in the retina. J Neurosci 18: 4022—4028, 1998.
- Puro DG, Yuan JP, Sucher NJ: Activation of NMDA receptor-channels in human retinal Müller glial cells inhibits inward-rectifying potassium currents. Vis Neurosci 13:319—326, 1996.
- Wakakura M, Yamamoto N: Cytosolic calcium transient increase though the AMPA/kainate receptor in cultured Müller cells. Vision Res 34: 1105—1109, 1994.
- Schwartz EA: L-glutamate conditionally modulates the K⁺ current of Müller glial cells. Neuron 10:1141—1149, 1993.
- Keirstead SA, Miller RF: Metabotropic glutamate receptor agonists evoke calcium waves in isolated Müller cells. Glia 21:194—203, 1997.
- Wakakura M, Yamamoto N: Rapid increase of intracellular Ca²⁺ concentration caused by aminoadipic acid enantiomers in retinal Müller cells and neurons in vitro. Doc Ophthalmol 80: 385—395, 1992.
- 10) Kawasaki I, Wakakura M, Ishikawa S: Possible roles of AMPA/KA receptor in cultured Müller

- cells. Jpn J Ophthalmol 40:158-166, 1996.
- 11) **篠崎温彦**: 興奮性アミノ酸研究の歴史と現在の動向, 神経精神薬理 18:345-365, 1996.
- 12) Scher J, Schnitzer J: The rabbit retina: A suitable mammalian tissue for obtaining astroglia-free Mü ller cell cultures. Neurosci Lett 97:51—56, 1989.
- 13) Wakakura M, Foulds WS: Immunocytochemical characteristics of Müller cells cultured from adult rabbit retina. Invest Ophthalmol Vis Sci 29:892— 900, 1988.
- 14) **宮川厚夫**: 細胞内 Ca イオン濃度測定に使われる装置. 日本生理誌 57: 401—418, 1995.
- 15) Puro DG, Hwang JJ, Kwong OJ, Chin H: Characterization of an L-type calcium channel expressed by human retinal Müller cell (glial) cells. Mol Brain Res 37: 32—40, 1996.
- 16) 小倉明彦: グルタミン酸受容体チャネル. 東田陽博 (編): イオンチャネル1. メジカルビュー社, 東京, 86-93, 1997.
- 17) Matsui K, Hosoi N, Tachibana M: Excitatory synaptic transmission in the inner retina: Paired recordings of bipolar cells and neurons of the ganglion cell layer. J Neurosci 18:4500—4510, 1998.
- 18) **Rothman S**: Synaptic release of excitatory amino acid neurotransmitter mediates anoxcic neuronal death. J Neurosci 4:1884—1891, 1984.
- 19) Neal MJ, Cunningham JR, Hutson PH, Hogg J: Effects of ischaemia on neurotransmitter release from the isolated retina. J Neurochem 62:1025— 1033, 1994.
- 20) **玉井 信**:網膜における興奮性アミノ酸の持つ二面性,日眼会誌 98:411—418,1994.
- 21) Abu El-Asrar AM, Morse PH, Maimone D, Torczynski E, Reder AT: MK-801 protects retinal neurons from hypoxia and the toxicity of glutamate and aspartate. Invest Opthalmol Vis Sci 33: 3463—3468, 1992.